



ГОСУДАРСТВЕННЫЙ НАУЧНЫЙ ЦЕНТР РОССИЙСКОЙ ФЕДЕРАЦИИ

ИНСТИТУТ ФИЗИКИ ВЫСОКИХ ЭНЕРГИЙ

ИФВЭ 2000–57
ОТФ

В.В. Брагута[†], А.А. Лиходед^{††}, А.Е. Чалов[†],

**ПОПЕРЕЧНАЯ ПОЛЯРИЗАЦИЯ МЮОНА В ПРОЦЕССЕ $K_{l2\gamma}$
ЗА СЧЕТ ЭЛЕКТРОМАГНИТНОГО ВЗАИМОДЕЙСТВИЯ
В КОНЕЧНОМ СОСТОЯНИИ**

[†] *Московский физико-технический институт, Долгопрудный*

^{††} *Институт физики высоких энергий, Протвино*

Аннотация

Брагута В.В., Лиходед А.А., Чалов А.Е. Поперечная поляризация в процессе $K_{l2\gamma}$ за счет электромагнитного взаимодействия в конечном состоянии: Препринт ИФВЭ 2000–57. – Протвино, 2000. – 11 с., 4 рис., библиогр.: 9.

Проводится анализ эффекта поперечной поляризации мюона в процессе $K^+ \rightarrow \mu^+ \nu \gamma$, обусловленной электромагнитным взаимодействием в конечном состоянии. Показано, что на уровне однопетлевого приближения величина поперечной поляризации мюона P_T может варьироваться в пределах $(0.0 \div 1.5 \cdot 10^{-2})$ в области диаграммы Далитца. Усредненное значение поляризации мюона $\langle P_T \rangle$ в кинематической области $E_\gamma \geq 20$ МэВ составляет величину $1.1 \cdot 10^{-3}$.

Abstract

Braguta V.V., Likhoded A.A., Chalov A.E. Transverse Muon Polarization in the $K_{l2\gamma}$ Decay Due to the Electromagnetic Final State Interaction: IHEP Preprint 2000–57. – Protvino, 2000. – p. 11, figs. 4, refs.: 9.

The effect of the transverse muon polarization in the $K^+ \rightarrow \mu^+ \nu \gamma$ process, caused by the electromagnetic final state interaction, is analyzed. It is shown that for the one-loop calculations the value of the muon transverse polarization varies within $(0.0 \div 1.5 \cdot 10^{-2})$ in the Dalitz plot region. Averaged value of the muon transverse polarization, $\langle P_T \rangle$, in the kinematic region of $E_\gamma \geq 20$ MeV is equal to $1.1 \cdot 10^{-3}$.

Введение

Изучение радиационных распадов K -мезонов представляет интерес с точки зрения поиска эффектов новой физики вне Стандартной Модели электрослабых взаимодействий (СМ). Одной из наиболее интересных возможностей является поиск новых взаимодействий, которые могут приводить к CP -нарушению. В отличие от СМ, где нарушение CP обуславливается наличием комплексной фазы в матрице ККМ, нарушение CP , например в суперсимметричных моделях, может возникать естественным образом за счет комплексности юкавовских констант связи новых хиггсовских бозонов с фермионами [1]. В данной ситуации представляется интересным анализ экспериментальных наблюдаемых в процессах распадов каонов, особенно чувствительных к эффектам CP -нарушения. Такими величинами могут являться поперечная поляризация мюона в процессах $K^\pm \rightarrow \mu^\pm \nu \gamma$ и $K^\pm \rightarrow \pi^0 \mu^\pm \nu$ и T -нечетная корреляция ($T = \frac{1}{M_K^3} \vec{p}_\gamma \cdot [\vec{p}_\pi \times \vec{p}_l]$) в процессе $K^\pm \rightarrow \pi^0 \mu^\pm \nu \gamma$ [2]. В частности, в лево-правой симметричных моделях с одним хиггсовским дублетом [3] поперечная поляризация мюона может составлять величину $P_T \simeq 7.0 \cdot 10^{-3}$, а в моделях с тремя хиггсовскими дублетами — $P_T \simeq 6.0 \cdot 10^{-2}$ [4].

Новые возможности в этой области открываются в связи с планируемым экспериментом ОКА [5] по изучению распадов заряженных каонов. Ожидаемая статистика для распадов $K^+ \rightarrow \mu^+ \nu \gamma$, $K^+ \rightarrow \pi^0 \mu^+ \nu$ и $K^+ \rightarrow \pi^0 \mu^+ \nu \gamma$ составляет приблизительно $4.3 \cdot 10^8$; $1.7 \cdot 10^9$ и $7.0 \cdot 10^5$ событий соответственно. Данная статистика позволяет надеяться, что возможно либо обнаружить эффекты новой физики, либо поставить жесткие ограничения на параметры расширенных моделей.

При поиске вкладов возможных эффектов новых взаимодействий в поперечную поляризацию мюона особенно важно оценить фоновый вклад так называемой “ложной” поляризации мюона, которая возникает за счет электромагнитного взаимодействия в конечном состоянии. Расчет поперечной поляризации мюона в процессе $K^+ \rightarrow \mu^+ \nu \gamma$, обусловленной электромагнитным взаимодействием в конечном состоянии, на уровне однопетлевого приближения минимальной квантовой электродинамики был проведен в [6]. Было показано, что величина поляризации мюона может варьироваться в интервале $(-0.1 \div 4.0) \cdot 10^{-3}$.

В настоящей работе мы заново проанализировали эффект поперечной поляризации мюона, обусловленной электромагнитным взаимодействием в конечном состоянии. Мы обнаружили рассогласование с ранними результатами [6] в вычислении плотности диа-

граммы Далитца, ρ_0 и поперечной компоненты поляризации мюона, ρ_T , дающих вклад в поперечную поляризацию. Это приводит к заметному изменению интервала значений и смещению усредненной величины поперечной поляризации.

В первом разделе мы приводим процедуру вычисления поперечной поляризации с учетом однопетлевых диаграмм с взаимодействием в конечном состоянии. В разделе 2 приводятся и обсуждаются численные результаты для P_T и $\langle P_T \rangle$. Последний раздел содержит основные выводы и заключение.

1. Поперечная поляризация мюона в процессе $K^+ \rightarrow \mu^+ \nu \gamma$

Процесс распада $K^+ \rightarrow \mu^+ \nu \gamma$ в древесном приближении описывается диаграммами, изображенными на рис. 1. Диаграммы на рис. 1б и 1в соответствуют тормозному излучению мюона и каона, а диаграмма на рис. 1а — структурному излучению. Амплитуда может быть записана в следующем виде:

$$M = ie \frac{G_F}{\sqrt{2}} V_{us}^* \varepsilon_\mu^* \left(f_K m_\mu \bar{u}(p_\nu) (1 + \gamma_5) \left(\frac{p_K^\mu}{(p_K q)} - \frac{(p_\mu)^\mu}{(p_\mu q)} - \frac{\hat{q} \gamma^\mu}{2(p_\mu q)} \right) v(p_\mu) - G^{\mu\nu} l_\nu \right), \quad (1)$$

где

$$\begin{aligned} l_\mu &= \bar{u}(p_\nu) (1 + \gamma_5) \gamma_\mu v(p_\mu); \\ G^{\mu\nu} &= i F_v \varepsilon^{\mu\nu\alpha\beta} q_\alpha (p_K)_\beta - F_a (g^{\mu\nu} (p_K q) - p_K^\mu q^\nu); \end{aligned} \quad (2)$$

G_F — константа Ферми; V_{us} — соответствующий элемент матрицы Кабиббо-Кобаяши-Маскава; f_K — лептонная константа K -мезона; p_K, p_μ, p_ν, q — четырех-импульсы каона, мюона, нейтрино и фотона соответственно; ε_μ — вектор поляризации фотона; F_v и F_a — векторный и аксиальный формфакторы каона.

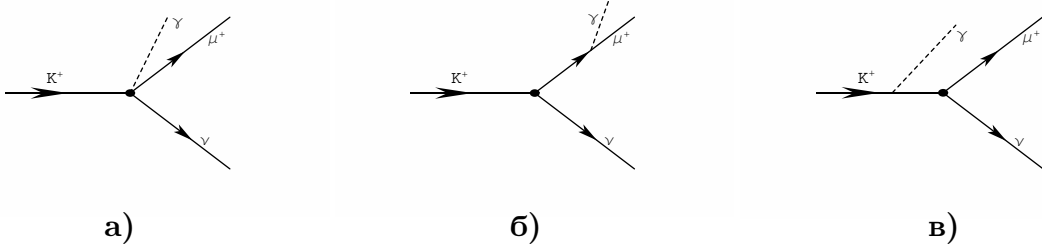


Рис. 1. Диаграммы Фейнмана для распада $K^\pm \rightarrow \mu^\pm \nu \gamma$ в древесном приближении.

Часть амплитуды, соответствующая структурному излучению и излучению в начальном состоянии каона, которую мы в дальнейшем будем использовать в однопетлевых вычислениях, есть

$$M_K = ie \frac{G_F}{\sqrt{2}} V_{us}^* \varepsilon_\mu^* \left(f_K m_\mu \bar{u}(p_\nu) (1 + \gamma_5) \left(\frac{p_K^\mu}{(p_K q)} - \frac{\gamma^\mu}{m_\mu} \right) v(p_\mu) - G^{\mu\nu} l_\nu \right). \quad (3)$$

Парциальная ширина распада $K^+ \rightarrow \mu^+ \nu \gamma$ в системе покоя K -мезона выражается следующим образом:

$$d\Gamma = \frac{|M|^2}{2m_K} (2\pi)^4 \delta(p_K - p_\mu - q - p_\nu) \frac{d^3 q}{(2\pi)^3 2E_q} \frac{d^3 p_\mu}{(2\pi)^3 2E_\mu} \frac{d^3 p_\nu}{(2\pi)^3 2E_\nu}. \quad (4)$$

Вводя \vec{s} — единичный вектор в направлении спина мюона в его системе покоя, где \vec{e}_i ($i = L, N, T$) — единичные векторы вдоль продольной, нормальной и поперечной компонент поляризации мюона, можно записать квадрат матричного элемента перехода в состоянии с определенной поляризацией мюона в следующем виде:

$$|M|^2 = \rho_0 [1 + (P_L \vec{e}_L + P_N \vec{e}_N + P_T \vec{e}_T) \cdot \vec{s}], \quad (5)$$

где ρ_0 — плотность вероятности на диаграмме Далитца. Единичные векторы \vec{e}_i выражаются через трех-импульсы конечных частиц

$$\vec{e}_L = \frac{\vec{p}_\mu}{|\vec{p}_\mu|}, \quad \vec{e}_N = \frac{\vec{p}_\mu \times (\vec{q} \times \vec{p}_\mu)}{|\vec{p}_\mu \times (\vec{q} \times \vec{p}_\mu)|}, \quad \vec{e}_T = \frac{\vec{q} \times \vec{p}_\mu}{|\vec{q} \times \vec{p}_\mu|}. \quad (6)$$

Здесь P_T — поперечная поляризация мюона. Следуя обозначениям работы [6],

$$x = \frac{2E_\gamma}{m_K}, \quad y = \frac{2E_\mu}{m_K}, \quad \lambda = \frac{x + y - 1 - r_\mu}{x}, \quad r_\mu = \frac{m_\mu^2}{m_K^2}, \quad (7)$$

где E_γ и E_μ — энергии фотона и мюона в системе покоя K , можно записать плотность вероятности на диаграмме Далитца

$$\rho_0(x, y) = \frac{d^2\Gamma}{dxdy} = \frac{m_K}{256\pi^3} |M|^2 \quad (8)$$

как функцию переменных x и y в следующем виде:

$$\begin{aligned} \rho_0 = & \frac{1}{2} e^2 G_F^2 |V_{us}|^2 \left(\frac{4m_\mu^2 |f_K|^2}{\lambda x^2} (1 - \lambda) \left(x^2 + 2(1 - r_\mu) \left(1 - x - \frac{r_\mu}{\lambda} \right) \right) + \right. \\ & m_K^6 x^2 (|F_a|^2 + |F_v|^2) (y - 2\lambda y - \lambda x + 2\lambda^2) + 4 \operatorname{Re}(f_K F_v^*) m_K^4 r_\mu \frac{x}{\lambda} (\lambda - 1) + \\ & \left. 4 \operatorname{Re}(f_K F_a^*) m_K^4 r_\mu \left(-2y + x + 2\frac{r_\mu}{\lambda} - \frac{x}{\lambda} + 2\lambda \right) + 2 \operatorname{Re}(F_a F_v^*) m_K^6 x^2 (y - 2\lambda + x\lambda) \right). \quad (9) \end{aligned}$$

Далее, при вычислении поперечной поляризации мюона мы будем придерживаться идеологии, использованной в оригинальной работе [7], и считать, что амплитуда рассматриваемого распада CP -инвариантна и формфакторы f_K , F_v и F_a являются действительными. В этом случае в древесном приближении поперечная поляризация мюона $P_T = 0$. При включении в рассмотрение однопетлевых вкладов, ненулевая поперечная поляризация мюона возникает за счет интерференции древесных диаграмм и мнимых частей однопетлевых диаграмм, обусловленных электромагнитным взаимодействием в конечном состоянии.

Для определения этих мнимых частей формфакторов воспользуемся [7] унитарностью S -матрицы

$$S^+ S = 1 \quad (10)$$

и, используя $S = 1 + iT$, получаем:

$$T_{fi} - T_{if}^* = i \sum_n T_{nf}^* T_{ni}, \quad (11)$$

где индексы i, f, n соответствуют начальному, конечному и промежуточному состояниям системы частиц. Далее, используя T -инвариантность матричного элемента, получаем выражение

$$\text{Im}T_{fi} = \frac{1}{2} \sum_n T_{nf}^* T_{ni}, \quad (12)$$

$$T_{fi} = (2\pi)^4 \delta(P_f - P_i) M_{fi}. \quad (13)$$

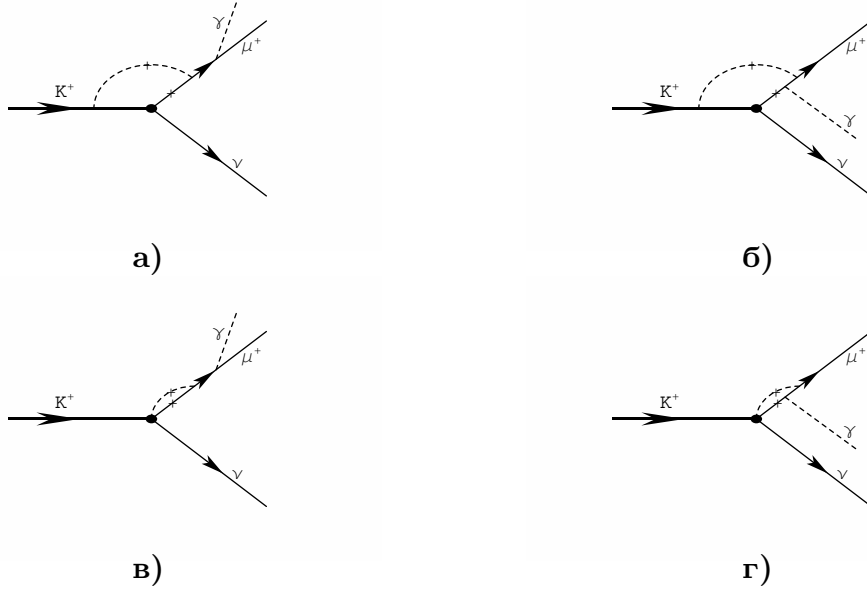


Рис. 2. Диаграммы Фейнмана, дающие вклад в поперечную поляризацию в однопетлевом приближении.

Однопетлевые диаграммы, дающие вклад в поперечную поляризацию мюона в процессе $K^+ \rightarrow \mu^+ \nu \gamma$, представлены на рис. 2. Используя выражение (3), можно записать мнимые части этих диаграмм, обуславливающие ненулевой вклад в P_T . Для диаграмм рис. 2а, в можно записать:

$$\text{Im}M_1 = \frac{i\epsilon\alpha G_F}{2\pi \sqrt{2}} V_{us}^* \bar{u}(p_\nu) (1 + \gamma_5) \int \frac{d^3 k_\gamma}{2\omega_\gamma} \frac{d^3 k_\mu}{2\omega_\mu} \delta(k_\gamma + k_\mu - P) R_\mu \times \\ (\hat{k}_\mu - m_\mu) \gamma^\mu \frac{\hat{q} + \hat{p}_\mu - m_\mu}{(q + p_\mu)^2 - m_\mu^2} \gamma^\delta \varepsilon_\delta^* v(p_\mu). \quad (14)$$

Диаграммам рис. 2б, г соответствует

$$\text{Im}M_2 = \frac{i\epsilon\alpha G_F}{2\pi \sqrt{2}} V_{us}^* \bar{u}(p_\nu) (1 + \gamma_5) \int \frac{d^3 k_\gamma}{2\omega_\gamma} \frac{d^3 k_\mu}{2\omega_\mu} \delta(k_\gamma + k_\mu - P) R_\mu \times \\ (\hat{k}_\mu - m_\mu) \gamma^\delta \varepsilon_\delta^* \frac{\hat{k}_\mu - \hat{q} - m_\mu}{(k_\mu - q)^2 - m_\mu^2} \gamma^\mu v(p_\mu), \quad (15)$$

где введено обозначение

$$R_\mu = f_K m_\mu \left(\frac{(p_K)_\mu}{(p_K k_\gamma)} - \frac{\gamma_\mu}{m_\mu} \right) - i F_v \varepsilon_{\mu\nu\alpha\beta} (k_\gamma)^\alpha (p_K)^\beta \gamma^\nu + F_a (\gamma_\mu (p_K k_\gamma) - (p_K)_\mu \hat{k}_\gamma). \quad (16)$$

Подробно процедура вычисления интегралов (14), (15) и их зависимость от кинематических параметров приведены в Приложении 1.

Выражение для амплитуды с учетом $\text{Im}M_1 + \text{Im}M_2$ имеет следующий вид:

$$M = ie \frac{G_F}{\sqrt{2}} V_{us}^* \varepsilon_\mu^* \left(\tilde{f}_K m_\mu \bar{u}(p_\nu) (1 + \gamma_5) \left(\frac{p_K^\mu}{(p_K q)} - \frac{(p_\mu)^\mu}{(p_\mu q)} \right) v(p_\mu) + \tilde{F}_n \bar{u}(p_\nu) (1 + \gamma_5) \hat{q} \gamma^\mu v(p_\mu) - \tilde{G}^{\mu\nu} l_\nu \right), \quad (17)$$

где

$$\tilde{G}^{\mu\nu} = i \tilde{F}_v \varepsilon^{\mu\nu\alpha\beta} q_\alpha (p_K)_\beta - \tilde{F}_a (g^{\mu\nu} (p_K q) - p_K^\mu q^\nu). \quad (18)$$

Формфакторы \tilde{f}_K , \tilde{F}_v , \tilde{F}_a и \tilde{F}_n включают однопетлевые вклады от диаграмм на рис. 2. Нас интересуют только вклады от мнимых частей однопетлевых диаграмм, поскольку именно они и приводят к возникновению ненулевой поперечной поляризации мюона, поэтому мы пренебрегаем реальными частями этих диаграмм и полагаем, что $\text{Re}\tilde{f}_K$, $\text{Re}\tilde{F}_v$, $\text{Re}\tilde{F}_a$ совпадают с их значениями в древесном приближении f_K , F_v , F_a соответственно, а $\text{Re}\tilde{F}_n = -f_K m_\mu / 2 / (p_\mu q)$. Выражения для мнимых частей формфакторов приведены в Приложении 2.

Поперечная поляризация мюона может быть представлена в следующем виде:

$$P_T = \frac{\rho_T}{\rho_0}, \quad (19)$$

где

$$\begin{aligned} \rho_T = & -2m_K^3 e^2 G_F^2 |V_{us}|^2 x \sqrt{\lambda y - \lambda^2 - r_\mu} \left(m_\mu \text{Im}(\tilde{f}_K \tilde{F}_a^*) \left(1 - \frac{2}{x} + \frac{y}{\lambda x}\right) + \right. \\ & m_\mu \text{Im}(\tilde{f}_K \tilde{F}_v^*) \left(\frac{y}{\lambda x} - 1 - 2\frac{r_\mu}{\lambda x}\right) + 2\frac{r_\mu}{\lambda x} \text{Im}(\tilde{f}_K \tilde{F}_n^*) (1 - \lambda) + \\ & \left. m_K^2 x \text{Im}(\tilde{F}_n \tilde{F}_a^*) (\lambda - 1) + m_K^2 x \text{Im}(\tilde{F}_n \tilde{F}_v^*) (\lambda - 1) \right). \quad (20) \end{aligned}$$

2. Результаты

Перед тем как перейти к обсуждению численных результатов, мы хотим сделать ряд замечаний. Следует отметить, что полученное нами выражение для плотности вероятности на диаграмме Далитца (9) совпадает с выражением¹, приведенным в [8], и отличается от результата, приведенного в [6], структурой интерференционных членов. Кроме того, выражение (20) отличается от результата для ρ_T , приведенного в [6]. В частности, в выражении для ρ_T в [6] отсутствуют члены с $\text{Im}(\tilde{f}_K \tilde{F}_n^*)$ и $\text{Im}(\tilde{F}_n \tilde{F}_a^*)$, а член $\tilde{f}_K \tilde{F}_a^*$ отличается знаком. Эти различия приводят к заметным отличиям в величине поперечной поляризации мюона, вычисленной в нашей работе и работе [6].

¹Отличие заключается только в определении нормировки формфакторов, $F_v = \sqrt{2}V$, $F_a = \sqrt{2}A$, $f_K = \sqrt{2}F_K$, где V , A и F_K — соответствующие формфакторы в [8].

При проведении численных расчетов мы используем следующие значения формфакторов [8,9]:

$$f_K = 0.16 \text{ ГэВ}, \quad F_v = -\frac{0.095}{m_K}, \quad F_a = -\frac{0.043}{m_K}.$$

Значение формфактора f_K определяется из экспериментальных данных по распадам каонов [9], а величины F_v, F_a вычисляются в рамках киральной теории возмущений на однопетлевом уровне [8].

На рис. 3 мы приводим трехмерный плот распределения диаграммы Далитца для поперечной поляризации мюона. Максимальные значения поперечной поляризации достигаются в области средних значений $x = 2E_\gamma/m_K \simeq 0.5$ и максимальных значений $y = 2E_\mu/m_K \rightarrow 1$. Важным отличием полученных нами результатов от результатов вычисления P_T в [6] является тот факт, что в наших расчетах величина поперечной поляризации положительна и не принимает отрицательных значений во всей области диаграммы Далитца.

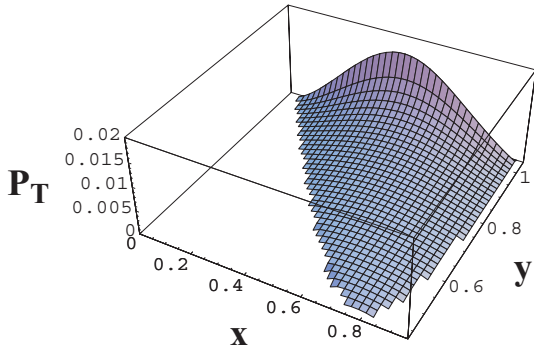


Рис. 3. Трехмерная диаграмма Далитца для поперечной поляризации мюона как функции переменных $x = 2E_\gamma/m_K$ и $y = 2E_\mu/m_K$.

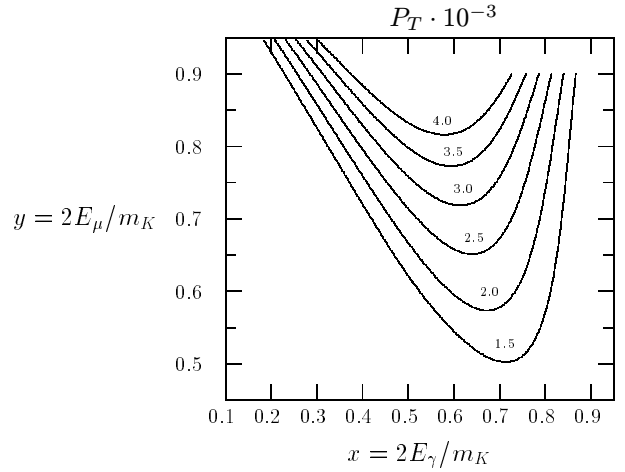


Рис. 4. Линии уровня диаграммы Далитца для поперечной поляризации мюона $P_T = f(x, y)$.

На рис. 4 показаны линии уровня для поперечной поляризации мюона как функции переменных x и y , $P_T = f(x, y)$. Из рисунка видно, что локализация области максимальных значений поперечной поляризации мюона отлична от результата, приведенного в работе [6], где максимум P_T смещен в область больших значений x .

Величина средней поперечной поляризации мюона $\langle P_T \rangle$ может быть получена интегрированием по физической области с учетом ограничения по энергии фотона $E_\gamma > 20 \text{ МэВ}$ и составляет

$$\langle P_T \rangle = 1.1 \cdot 10^{-3}.$$

Благодарности

В заключение авторы выражают благодарность В.В. Киселеву и А.К. Лиходеду за полезные обсуждения и ценные замечания. Работа выполнена при финансовой поддержке РФФИ, гранты 99-02-16558 и 00-15-96645.

Список литературы

- [1] Weinberg S. // *Phys. Rev. Lett.* **37** (1976), 651.
- [2] Likhoded A., Braguta V., Chalov A. (см. **hep-ex/0011033**).
- [3] Donoghue J.F., Holstein B. // *Phys. Lett.* **B113** (1982), 382; L. Wolfenstein. // *Phys. Rev.* **29** (1984), 2130; G. Barenboim et al. // *Phys. Rev.* **55** (1997), 24213.
- [4] Kobayashi M, Lin T.-T., Okada Y. // *Prog. Theor. Phys.* **95** (1996), 361; Garisto R., Kane G. // *Phys. Rev.* **D44** (1991), 2038; Belanger G., Cheng C.Q. // *Phys. Rev.* **D44** (1991), 2789.
- [5] ОКА Letter of Intent. (см. В.Ф. Образцов, **hep-ex/0011033**).
- [6] Ефросинин В.П., Куденко Ю.Г. // *ЯФ* **т.67** (1999), 1054.
- [7] Окунь Л.Б., Хриплович И.Б. // *ЯФ* **т.6** (1967), 821.
- [8] Bijnens J., Ecker G., Gasser J. // *Nucl. Phys.* **B396** (1993), 81.
- [9] Particle Data Group. // *Euro. Phys. Journ.* **C15** (2000).

Рукопись поступила 1 декабря 2000 г.

Приложение 1

При вычислении интегралов, входящих в выражения (14) и (15), мы будем использовать следующие обозначения:

$$P = p_\mu + q,$$

$$d\rho = \frac{d^3 k_\gamma}{2\omega_\gamma} \frac{d^3 k_\mu}{2\omega_\mu} \delta(k_\gamma + k_\mu - P).$$

Далее приводим либо явные выражения для соответствующих интегралов через введенные параметры, либо системы уравнений относительно этих параметров, решив которые, можно вычислить данные интегралы,

$$J_{11} = \int d\rho = \frac{\pi}{2} \frac{P^2 - m_\mu^2}{P^2},$$

$$J_{12} = \int d\rho \frac{1}{(p_K k_\gamma)} = \frac{\pi}{2I} \ln\left(\frac{(Pp_K) + I}{(Pp_K) - I}\right),$$

где

$$I^2 = (Pp_K)^2 - m_K^2 P^2.$$

$$\int d\rho \frac{k_\gamma^\alpha}{(p_K k_\gamma)} = a_{11} p_K^\alpha + b_{11} P^\alpha.$$

Параметры a_{11} и b_{11} определяются следующим выражением:

$$a_{11} = -\frac{1}{(Pp_K)^2 - m_K^2 P^2} \left(P^2 J_{11} - \frac{J_{12}}{2} (Pp_K)(P^2 - m_\mu^2) \right),$$

$$b_{11} = \frac{1}{(Pp_K)^2 - m_K^2 P^2} \left((Pp_K) J_{11} - \frac{J_{12}}{2} m_K^2 (P^2 - m_\mu^2) \right),$$

$$\int d\rho k_\gamma^\alpha = a_{12} P^\alpha,$$

$$\int d\rho k_\gamma^\alpha k_\gamma^\beta = a_{13} g^{\alpha\beta} + b_{13} P^\alpha P^\beta,$$

где

$$a_{12} = \frac{(P^2 - m_\mu^2)}{2P^2} J_{11},$$

$$a_{13} = -\frac{1}{12} \frac{(P^2 - m_\mu^2)^2}{P^2} J_{11},$$

$$b_{13} = \frac{1}{3} \left(\frac{P^2 - m_\mu^2}{P^2} \right)^2 J_{11}.$$

$$J_1 = \int d\rho \frac{1}{(p_K k_\gamma)((p_\mu - k_\gamma)^2 - m_\mu^2)} = -\frac{\pi}{2I_1(P^2 - m_\mu^2)} \ln\left(\frac{(p_K p_\mu) + I_1}{(p_K p_\mu) - I_1}\right),$$

$$J_2 = \int d\rho \frac{1}{(p_\mu - k_\gamma)^2 - m_\mu^2} = -\frac{\pi}{4I_2} \ln\left(\frac{(Pp_\mu) + I_2}{(Pp_\mu) - I_2}\right),$$

где

$$\begin{aligned} I_1^2 &= (p_K p_\mu)^2 - m_\mu^2 m_K^2, \\ I_2^2 &= (P p_\mu)^2 - m_\mu^2 P^2. \end{aligned}$$

$$\begin{aligned} \int d\rho \frac{k_\gamma^\alpha}{(p_\mu - k_\gamma)^2 - m_\mu^2} &= a_1 P^\alpha + b_1 p_\mu^\alpha, \\ a_1 &= -\frac{m_\mu^2 (P^2 - m_\mu^2) J_2 + (P p_\mu) J_{11}}{2((P p_\mu)^2 - m_\mu^2 P^2)}, \\ b_1 &= \frac{(P p_\mu)(P^2 - m_\mu^2) J_2 + P^2 J_{11}}{2((P p_\mu)^2 - m_\mu^2 P^2)}. \end{aligned}$$

Следующие интегралы выражаются через параметры, значения которых могут быть получены решением соответствующих систем уравнений:

$$\int d\rho \frac{k_\gamma^\alpha}{(p_K k_\gamma)((p_\mu - k_\gamma)^2 - m_\mu^2)} = a_2 P^\alpha + b_2 p_K^\alpha + c_2 p_\mu^\alpha,$$

$$\begin{cases} a_2(P p_K) + b_2 m_K^2 + c_2(p_K p_\mu) = J_2 \\ a_2(P p_\mu) + b_2(p_K p_\mu) + c_2 m_\mu^2 = -\frac{1}{2} J_{12} \\ a_2 P^2 + b_2(P p_K) + c_2(P p_\mu) = (p_\mu q) J_1 \end{cases},$$

$$\begin{aligned} \int d\rho \frac{k_\gamma^\alpha k_\gamma^\beta}{(p_K k_\gamma)((p_\mu - k_\gamma)^2 - m_\mu^2)} &= a_3 g^{\alpha\beta} + b_3(P^\alpha p_K^\beta + P^\beta p_K^\alpha) + c_3(P^\alpha p_\mu^\beta + P^\beta p_\mu^\alpha) \\ &+ d_3(p_K^\alpha p_\mu^\beta + p_K^\beta p_\mu^\alpha) + e_3 p_\mu^\alpha p_\mu^\beta \\ &+ f_3 P^\alpha P^\beta + g_3 p_K^\alpha p_K^\beta, \end{aligned}$$

$$\begin{cases} 4a_3 + 2b_3(P p_K) + 2c_3(P p_\mu) + 2d_3(p_K p_\mu) + g_3 m_K^2 + e_3 m_\mu^2 + f_3 P^2 = 0 \\ c_3(p_K p_\mu) + b_3 m_K^2 + f_3(P p_K) - a_1 = 0 \\ c_3(P p_K) + d_3 m_K^2 + e_3(p_K p_\mu) - b_1 = 0 \\ a_3 + b_3(P p_K) + d_3(p_K p_\mu) + g_3 m_K^2 = 0 \\ b_3(p_K p_\mu) + c_3 m_\mu^2 + f_3(P p_\mu) = -\frac{1}{2} b_{11} \\ b_3(P p_\mu) + d_3 m_\mu^2 + g_3(p_K p_\mu) = -\frac{1}{2} a_{11} \\ a_3 P^2 + 2b_3 P^2(P p_K) + 2c_3 P^2(P p_\mu) + 2d_3(P p_\mu)(P p_K) + e_3(P p_\mu)^2 + f_3(P^2)^2 + g_3(P p_K)^2 = (p_\mu q)^2 J_1 \end{cases},$$

$$\int d\rho \frac{k_\gamma^\alpha k_\gamma^\beta}{(p_\mu - k_\gamma)^2 - m_\mu^2} = a_4 g_{\alpha\beta} + b_4(P^\alpha p_\mu^\beta + P^\beta p_\mu^\alpha) + c_4 P^\alpha P^\beta + d_4 p_\mu^\alpha p_\mu^\beta,$$

$$\begin{cases} a_4 + d_4 m_\mu^2 + b_4(P p_\mu) = 0 \\ b_4 m_\mu^2 + c_4(P p_\mu) = -\frac{1}{2} a_{12} \\ 4a_4 + 2b_4(P p_\mu) + c_4 P^2 + d_4 m_\mu^2 = 0 \\ a_4 P^2 + 2b_4 P^2(P p_\mu) + c_4(P^2)^2 + d_4(P p_\mu)^2 = \frac{(P^2 - m_\mu^2)^2}{4} J_2 \end{cases}$$

$$\begin{aligned} \int d\rho \frac{k_\gamma^\alpha k_\gamma^\beta k_\gamma^\delta}{(p_\mu - k_\gamma)^2 - m_\mu^2} &= a_5(g^{\alpha\beta} p_\mu^\delta + g^{\delta\alpha} p_\mu^\beta + g^{\beta\delta} p_\mu^\alpha) + b_5(g^{\alpha\beta} P^\delta + g^{\delta\alpha} P^\beta + g^{\beta\delta} P^\alpha) \\ &+ c_5 p_\mu^\alpha p_\mu^\beta p_\mu^\delta + d_5 P^\alpha P^\beta P^\delta + e_5(P^\alpha p_\mu^\beta p_\mu^\delta + P^\delta p_\mu^\alpha p_\mu^\beta + P^\beta p_\mu^\delta p_\mu^\alpha) \\ &+ f_5(P^\alpha P^\beta p_\mu^\delta + P^\delta P^\alpha p_\mu^\beta + P^\beta P^\delta p_\mu^\alpha), \end{aligned}$$

$$\left\{ \begin{array}{l} 2a_5 + c_5 m_\mu^2 + e_5 (P p_\mu) = 0 \\ a_5 m_\mu^2 + b_5 (P p_\mu) = -\frac{1}{2} a_{13} \\ b_5 + e_5 m_\mu^2 + f_5 (P p_\mu) = 0 \\ d_5 (P p_\mu) + f_5 m_\mu^2 = -\frac{1}{2} b_{13} \\ 6a_5 + c_5 m_\mu^2 + 2e_5 (P p_\mu) + f_5 P^2 = 0 \\ 3a_5 P^2 (P p_\mu) + 3b_5 (P^2)^2 + c_5 (P p_\mu)^3 + d_5 (P^2)^3 + 3e_5 P^2 (P p_\mu)^2 + 3f_5 (P^2)^2 (P p_\mu) = \frac{(P^2 - m_\mu^2)^3}{8} J_2 \end{array} \right.$$

Приложение 2

В данном приложении мы приводим выражения для мнимых частей формфакторов через параметры, вычисленные в Приложении 1.

$$\begin{aligned} \text{Im}(\tilde{f}_K) = & -f_K(4a_3(p_K q) - 4a_2 m_\mu^2(p_K q) + 2b_3 m_\mu^2(p_K q) - 4c_2 m_\mu^2(p_K q) + \\ & 4c_3 m_\mu^2(p_K q) + 2d_3 m_\mu^2(p_K q) + 2e_3 m_\mu^2(p_K q) + 2f_3 m_\mu^2(p_K q) - \\ & 4a_2(p_K q)(p_\mu q) + 4b_3(p_K q)(p_\mu q) + 4c_3(p_K q)(p_\mu q) + 4f_3(p_K q)(p_\mu q)) - \\ & F_a(-8a_4(p_K q) + 8a_5(p_K q) + 8b_5(p_K q) - 8b_4 m_\mu^2(p_K q) - \\ & 4c_4 m_\mu^2(p_K q) + 2c_5 m_\mu^2(p_K q) - 4d_4 m_\mu^2(p_K q) + 2d_5 m_\mu^2(p_K q) + \\ & 6e_5 m_\mu^2(p_K q) + 6f_5 m_\mu^2(p_K q) - 12b_4(p_K q)(p_\mu q) - 8c_4(p_K q)(p_\mu q) - \\ & 4d_4(p_K q)(p_\mu q) + 4d_5(p_K q)(p_\mu q) + 4e_5(p_K q)(p_\mu q) + 8f_5(p_K q)(p_\mu q)) - \\ & F_v(-8a_4(p_K q) + 8a_5(p_K q) + 8b_5(p_K q) - 8b_4 m_\mu^2(p_K q) - 4c_4 m_\mu^2(p_K q) + \\ & 2c_5 m_\mu^2(p_K q) - 4d_4 m_\mu^2(p_K q) + 2d_5 m_\mu^2(p_K q) + 6e_5 m_\mu^2(p_K q) + \\ & 6f_5 m_\mu^2(p_K q) - 12b_4(p_K q)(p_\mu q) - 8c_4(p_K q)(p_\mu q) - 4d_4(p_K q)(p_\mu q) + \\ & 4d_5(p_K q)(p_\mu q) + 4e_5(p_K q)(p_\mu q) + 8f_5(p_K q)(p_\mu q)). \end{aligned}$$

$$\begin{aligned} \text{Im}(\tilde{F}_v) = & -f_K(4a_1 + 2b_1 - 2b_4 - 2c_4 - 2J_2 - a_2 m_\mu^2 - c_3 m_\mu^2 - e_3 m_\mu^2) - \\ & F_v(8a_4 - 4a_5 - 4b_5 - 2a_1 m_\mu^2 + 4b_4 m_\mu^2 + \\ & 3c_4 m_\mu^2 - c_5 m_\mu^2 + d_4 m_\mu^2 - d_5 m_\mu^2 - 3e_5 m_\mu^2 - 3f_5 m_\mu^2 + \\ & 2a_1(p_K p_\mu) - 4b_4(p_K p_\mu) - 4c_4(p_K p_\mu) + 2d_5(p_K p_\mu) + 2e_5(p_K p_\mu) + \\ & 4f_5(p_K p_\mu) + 2a_1(p_K q) - 2b_4(p_K q) - 4c_4(p_K q) + 2d_5(p_K q) + 2f_5(p_K q) - \\ & 4a_1(p_\mu q) + 6b_4(p_\mu q) + 6c_4(p_\mu q) - 2d_5(p_\mu q) - 2e_5(p_\mu q) - 4f_5(p_\mu q)) - \\ & F_a(-6a_4 + 2a_5 + 8b_5 - c_4 m_\mu^2 + d_4 m_\mu^2 + d_5 m_\mu^2 + e_5 m_\mu^2 + 2f_5 m_\mu^2 + \\ & 2a_1(p_K p_\mu) - 4b_4(p_K p_\mu) - 4c_4(p_K p_\mu) + 2d_5(p_K p_\mu) + 2e_5(p_K p_\mu) + \\ & 4f_5(p_K p_\mu) + 2a_1(p_K q) - 2b_4(p_K q) - 4c_4(p_K q) + 2d_5(p_K q) + 2f_5(p_K q) - \\ & 2c_4(p_\mu q) + 2d_5(p_\mu q) + 2f_5(p_\mu q)). \end{aligned}$$

$$\begin{aligned}
\text{Im}(\tilde{F}_a) = & -f_K(4a_1 + 2b_1 - 2b_4 - 2c_4 - \\
& 2J_2 + a_2m_\mu^2 + 2c_2m_\mu^2 - c_3m_\mu^2 - 2d_3m_\mu^2 - e_3m_\mu^2) - \\
& F_v(8a_4 - 4a_5 - 12b_5 - 2a_1m_\mu^2 + 4b_4m_\mu^2 + 5c_4m_\mu^2 - c_5m_\mu^2 - \\
& d_4m_\mu^2 - 3d_5m_\mu^2 - 5e_5m_\mu^2 - 7f_5m_\mu^2 + 2a_1(p_Kp_\mu) - 4b_4(p_Kp_\mu) - \\
& 4c_4(p_Kp_\mu) + 2d_5(p_Kp_\mu) + 2e_5(p_Kp_\mu) + 4f_5(p_Kp_\mu) + 2a_1(p_Kq) - \\
& 2b_4(p_Kq) - 4c_4(p_Kq) + 2d_5(p_Kq) + 2f_5(p_Kq) - 4a_1(p_\mu q) + 6b_4(p_\mu q) + \\
& 10c_4(p_\mu q) - 6d_5(p_\mu q) - 2e_5(p_\mu q) - 8f_5(p_\mu q)) - \\
& F_a(-6a_4 + 2a_5 + \\
& c_4m_\mu^2 - d_4m_\mu^2 - d_5m_\mu^2 - e_5m_\mu^2 - 2f_5m_\mu^2 + 2a_1(p_Kp_\mu) - 4b_4(p_Kp_\mu) - \\
& 4c_4(p_Kp_\mu) + 2d_5(p_Kp_\mu) + 2e_5(p_Kp_\mu) + 4f_5(p_Kp_\mu) + 2a_1(p_Kq) - 2b_4(p_Kq) - \\
& 4c_4(p_Kq) + 2d_5(p_Kq) + 2f_5(p_Kq) + 2c_4(p_\mu q) - 2d_5(p_\mu q) - 2f_5(p_\mu q))
\end{aligned}$$

$$\begin{aligned}
\text{Im}(\tilde{F}_n) = & -f_Km_\mu \left(-2a_1 - 2a_3 - b_{11} + 2b_4 + 2c_4 + J_{12} + b_2m_K^2 - g_3m_K^2 + \right. \\
& 2a_2m_\mu^2 + c_2m_\mu^2 - c_3m_\mu^2 - f_3m_\mu^2 + 2a_2(p_Kp_\mu) + 2b_2(p_Kp_\mu) - \\
& 2b_3(p_Kp_\mu) + 2c_2(p_Kp_\mu) - 2d_3(p_Kp_\mu) - 2J_1(p_Kp_\mu) - 2b_3(p_Kq) - \\
& \frac{a_{12}}{(p_\mu q)} - \frac{J_{11}}{(p_\mu q)} + \frac{a_{11}m_K^2}{2(p_\mu q)} - \frac{b_{11}m_\mu^2}{2(p_\mu q)} + \frac{b_{11}(p_Kp_\mu)}{(p_\mu q)} - \frac{J_{12}(p_Kp_\mu)}{(p_\mu q)} + \\
& \left. \frac{b_{11}(p_Kq)}{(p_\mu q)} - \frac{J_{12}(p_Kq)}{(p_\mu q)} + 2a_2(p_\mu q) - 2c_3(p_\mu q) - 2f_3(p_\mu q) \right) - \\
& F_a m_\mu \left(6a_4 - 8a_5 + b_{13} - 8b_5 + 4b_4m_\mu^2 + 2c_4m_\mu^2 - c_5m_\mu^2 + \right. \\
& 2d_4m_\mu^2 - d_5m_\mu^2 - 3e_5m_\mu^2 - 3f_5m_\mu^2 - 2a_1(p_Kp_\mu) + 2c_4(p_Kp_\mu) - \\
& 2d_4(p_Kp_\mu) - 2d_5(p_Kp_\mu) - 2e_5(p_Kp_\mu) - 4f_5(p_Kp_\mu) + 2c_4(p_Kq) - \\
& 2d_5(p_Kq) - 2f_5(p_Kq) + \frac{3a_{13}}{(p_\mu q)} + \frac{b_{13}m_\mu^2}{2(p_\mu q)} + \frac{b_{13}(p_Kp_\mu)}{(p_\mu q)} + \frac{b_{13}(p_Kq)}{(p_\mu q)} + \\
& \left. 6b_4(p_\mu q) + 4c_4(p_\mu q) + 2d_4(p_\mu q) - 2d_5(p_\mu q) - 2e_5(p_\mu q) - 4f_5(p_\mu q) \right) - \\
& F_v m_\mu \left(-2a_4 + 4a_5 - 2b_{13} + 4b_5 + 2a_1m_\mu^2 - c_4m_\mu^2 + c_5m_\mu^2 + \right. \\
& d_4m_\mu^2 + d_5m_\mu^2 + 3e_5m_\mu^2 + 3f_5m_\mu^2 - 2a_1(p_Kp_\mu) + 2c_4(p_Kp_\mu) - \\
& 2d_4(p_Kp_\mu) - 2d_5(p_Kp_\mu) - 2e_5(p_Kp_\mu) - 4f_5(p_Kp_\mu) + 2c_4(p_Kq) - \\
& 2d_5(p_Kq) - 2f_5(p_Kq) - \frac{3a_{13}}{(p_\mu q)} - \frac{b_{13}m_\mu^2}{(p_\mu q)} + \frac{b_{13}(p_Kp_\mu)}{(p_\mu q)} + \frac{b_{13}(p_Kq)}{(p_\mu q)} + \\
& \left. 2a_1(p_\mu q) - 2c_4(p_\mu q) + 2d_4(p_\mu q) + 2d_5(p_\mu q) + 2e_5(p_\mu q) + 4f_5(p_\mu q) \right)
\end{aligned}$$

В.В. Брагута, А.А. Лиходед, А.Е. Чалов.
Поперечная поляризация в процессе $K_{l2\gamma}$ за счет электромагнитного взаимодействия
в конечном состоянии.

Оригинал-макет подготовлен с помощью системы \LaTeX .
Редактор Н.В.Ежела. Технический редактор Н.В.Орлова.

Подписано к печати 01.12.2000 Формат $60 \times 84/8$. Офсетная печать.
Печ.л. 1,37. Уч.-изд.л. 1,1. Тираж 130. Заказ 4. Индекс 3649.
ЛР №020498 17.04.97.

ГНЦ РФ Институт физики высоких энергий
142284, Протвино Московской обл.

